

# УЧЕТ ГЕОМЕТРИЧЕСКОЙ НЕЛИНЕЙНОСТИ В РАСЧЕТАХ НЕУПРУГОГО ДЕФОРМИРОВАНИЯ КОНСТРУКЦИЙ. ДЕКОМПОЗИЦИЯ ДЕФОРМАЦИИ

О.С. Садаков, А.О. Щербакова

На примере одноосного напряженного состояния показано разделение деформации на обратимую и необратимую составляющие. Необратимая деформация определяется пластическим удлинением, накопленным за историю деформирования, а обратимая - термоупругая - в общем случае не разделяется на упругую и тепловую. Для иллюстрации приведены два примера переменного термомеханического нагружения стержня.

*Ключевые слова:* геометрическая нелинейность, упругая деформация, тепловая деформация, пластическая деформация, термомеханическое погружение.

## Введение

Существующие методы оценки прочности конструкций в подавляющем большинстве основаны на гипотезе бесконечной малости перемещений, что существенно упрощает расчеты. Однако во многих случаях учет нелинейности может не только количественно, но и качественно изменить результат. Развитие геометрически нелинейных подходов сдерживается недостаточной пока ясностью их теоретических основ, начиная с базовых понятий о мерах напряженного и деформированного состояний [1, 2]. Определенную помощь в этом смысле может оказать анализ поведения простейших конструкций. Ниже с этой целью рассмотрен случай одноосного напряженного состояния на примере деформирования однородного неупругого стержня под действием нормальной силы и температуры.

## Дисторсия

В расчетах на прочность материал конструкции моделируется в виде сплошной однородной среды. При этом делается допущение о том, что гладкие материальные волокна и пленки при деформировании остаются гладкими. Отсюда следует дифференцируемость полей смещений  $u(x)$  ( $x$  - радиус-вектор материальной точки в недеформированном состоянии). В любой точке такой среды существует градиент смещений  $u \nabla \equiv D$ , связывающий начальное положение элементарного материального волокна  $dx$  с его изменением  $du$ :

$$du = D \cdot dx. \quad (1)$$

Здесь точкой обозначено скалярное произведение ближайших к ней векторов (тензор дисторсии  $D$  представляет сумму диад). Элементарное материальное волокно  $dx$  (рис. 1) в результате деформирования и (или) поворота окрестности точки  $\chi$  преобразуется в волокно  $dr$ , где  $r$  - радиус-вектор материальной точки в текущий момент времени,  $r = x + u$ :

$$dr = F \cdot dx, \quad F \equiv I + D, \quad (2)$$

$I$  — тензор тождественного преобразования. Таким образом, бесконечное множество элементарных волокон  $dx$  в окрестности точки  $x$  смещается на величину  $u(x)$  и преобразуется в упорядоченное множество  $dr$ , определяемое двухвалентным тензором  $F$ , характеризуемым всего девятью числами (координатами). Тензор  $F$  часто неоправданно называют градиентом деформаций<sup>1</sup>. Более корректно называть его дисторсией, так как он определяет и деформацию элемента объема тела, и его поворот.

Если дисторсия вызывается разными причинами - например, тепловым воздействием (соответствующую дисторсию обозначим  $F_T$ ) и упругими деформациями, связанными с напряжениями

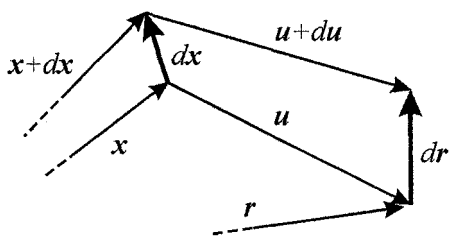


Рис. 1. Элементарное волокно до и после деформации

<sup>1</sup> Градиент деформации - трехвалентный тензор, характеризуемый 27 координатами.

(дисторсия  $F$ ), - то результирующее преобразование  $dx \rightarrow dr$  определяется произведением этих линейных преобразований

$$F = F_e \cdot F_T \quad (3)$$

(результат ряда линейных операций определяется произведением операторов). Приведенное выражение означает, что элемент объема был сначала нагрет (охлажден), а потом дополнительно деформирован приложенными напряжениями, характеризующимися тензором  $\sigma$  (тензор напряжений Коши в деформированной среде).

Названные дисторсии обычно бывают достаточно близки к единичному тензору  $I$ . Поэтому для удобства вводят тензоры  $D_e = F_e - I$ ,  $D_T = F_T - I$  (также называемые дисторсиями) и с некоторой погрешностью произведение (3) заменяют суммой

$$D = D_e + D_T \quad (4)$$

Здесь порядок воздействия (тепловое воздействие - силовое или наоборот) безразличен. Симметричные части дисторсии (4) называют деформациями  $\varepsilon = \varepsilon_e + \varepsilon_T$  (та же аддитивность).

Эти довольно стандартные для прочностных расчетов выражения основываются на гипотезе о бесконечной малости составляющих дисторсии. Например, если компоненты тензора дисторсии имеют порядок одного процента, то ошибка от замены строгого выражения (3), из которого следует, что

$$D = (D_e + I) \cdot (D_T + I) - I = D_e + D_T + D_e \cdot D_T$$

суммой (4) имеет порядок 2 %.

## Одноосное напряженное состояние

Переходя к более корректному (нелинейному) подходу, рассмотрим следующий простейший случай: среда изотропна, напряженное состояние одноосно. Пусть, например, это будет однородный стержень длиной  $l_0$ , нагружаемый продольной силой  $N$ . Текущее значение площади поперечного сечения стержня равно  $S$ ; ось стержня определяется ортом  $i$ ; нормальное напряжение  $\sigma$  в стержне равно отношению  $N/S$  (тензор напряжений равен  $\sigma_{ii}$ ).

Деформированное состояние продольно растягиваемого стержня, очевидно, является трехосным, но нас будет интересовать только осевая составляющая деформации  $\varepsilon = \Delta l/l_0$  ( $\Delta l$  - приращение длины стержня). Коэффициент длины стержня  $k$  представляет отношение  $l/l_0$ , где  $l$  - текущая длина стержня; отсюда  $k = 1 + \varepsilon$ .

## Составляющие деформации

Ограничим круг составляющих рассматриваемой деформации стержня тремя ее основными видами: тепловой, упругой и неупругой.

*Неупругая* деформация  $\varepsilon_p = \Delta l_p/l_0$  ( $\Delta l_p$  - неупругое удлинение стержня) связана со сдвигами, в результате которых происходят разрывы связей между частицами среды и устанавливаются новые - с другими соседними частицами. Это определяет необратимость неупругой деформации. Соответствующий коэффициент длины стержня равен

$$k_p = (l_0 + \Delta l_p)/l_0 = 1 + \varepsilon_p \quad (5)$$

*Тепловая* деформация, в отличие от деформации  $\varepsilon_p$ , обратима; она связана с изменением интенсивности теплового движения частиц среды. С ростом температуры происходит увеличение среднестатистического расстояния между частицами среды. При нагреве свободного стержня (изменение температуры обозначим  $T$ ) его длина возрастает на величину  $\Delta l_T$ ; соответствующий коэффициент длины зависит от текущего значения  $T$ :

$$k_T = (l_0 + \Delta l_T)/l_0 = 1 + \varepsilon_T, \quad \varepsilon_T = f(T) \quad (6)$$

Тепловая деформация *свободного* стержня  $f(T) = \Delta l_T/l_0$  представляет механическую характеристику конкретного материала. При возврате к начальной температуре она становится равной нулю.

При *упругом* растяжении *свободного* стержня он вытягивается на величину  $\Delta l_e = g(\sigma)l_0$ ; соответственно

$$k_e = (l_0 + \Delta l_e)/l_0 = 1 + \varepsilon, \quad \varepsilon_e = g(\sigma); \quad (7)$$

величина  $\varepsilon_e = \Delta l_e/l_0 = g(\sigma)$  - механическая характеристика материала. Напряжение, как и температура, приводит к изменению среднестатистического расстояния между частицами; при этом в межатомных связях запасается потенциальная энергия, которая затем при разгрузке полностью

возвращается нагружающему устройству. Упругая деформация, как и тепловая, обратима и зависит лишь от мгновенного значения напряжения.

### Упругопластическое деформирование

Названные три типа деформации практически не встречаются по отдельности, но вопрос об их вкладе в общую деформацию  $\varepsilon$  (или  $k = \varepsilon + 1$ ) оказывается нетривиальным.

Упругопластическое деформирование вполне типично: необратимые сдвиги, приводящие к пластическому удлинению стержня, вызываются напряжениями, то есть сопровождаются упругими деформациями. Необратимость пластической деформации и обратимость упругой позволяют в любой стадии упругопластического деформирования мысленно произвести разгрузку. Упругие деформации при этом исчезают, а пластическая *вытяжка* стержня остается. Логично считать поэтому, что пластическая деформация  $\varepsilon_p$  в любой момент истории нагружения определяется необратимым удлинением  $\Delta l_p$ , отнесенным к *начальной* длине  $l_0$ ;  $k_p = 1 + \varepsilon_p$  - пластический коэффициент длины; выражение (5) относится не только к остаточному, но и к нагруженному состоянию.

Возвращаясь постепенно к состоянию до начала разгрузки (восстанавливая напряжение, гипотетически положительное), заметим, что стержень длиной  $l_0 + \Delta l_p$  все сильнее упруго вытягивается под действием возрастающего напряжения. При этом, очевидно, чем больше предварительная пластическая вытяжка  $\Delta l_p$ , тем сильнее изменится длина стержня при приложении нагрузки (мы здесь полагаем, что пластическое удлинение не влияет на упругие свойства стержня, определяемые функцией  $g(\sigma)$  (7)). Отсюда следует, в частности, что упругое удлинение пластически вытянутого стержня определяется выражением

$$\Delta l_{e(p)} = g(\sigma)(l_0 + \Delta l_p). \quad (8)$$

Соответственно, коэффициент длины оказывается равным

$$k = k_{ep} = (l_0 + \Delta l_p + \Delta l_{e(p)})/l_0 = k_e k_p; \quad l = k_e l_0. \quad (9)$$

Здесь  $k_e = 1 + g(\sigma)$  - зависит только от  $\sigma$ , как и при упругой работе.

### Термоупругая деформация

Тепловая деформация (6), как и упругая (7), обратима. Если функция  $g(\sigma)$  не меняется при нагреве, а функция  $f(T)$  не зависит от нагрузки, то при упругом деформировании нагретого стержня происходит упругая вытяжка стержня длиной  $k_T l_0$ . Результирующий коэффициент длины

$$k = l/l_0 = k_e k_T = (1 + g(\sigma))(1 + f(T)) = 1 + g(\sigma) + f(T) + g(\sigma)f(T). \quad (10)$$

То же выражение справедливо и при нагреве растянутого стержня. Однако реальная ситуация более сложна: с изменением температуры свойства упругости, очевидно, изменяются. Не исключено и влияние напряжения на коэффициент теплового расширения. Поэтому выражение (10) следует заменить, введя общий коэффициент длины  $k_{eT}$ , характеризующий обратимую деформацию, обобщенно определяющую влияние текущих значений напряжения и температуры

$$k_{eT} = 1 + \varphi(\sigma, T). \quad (11)$$

Обратимая деформация (будем называть ее термоупругой) представляет собой функцию двух аргументов  $\varepsilon_{eT} = \varphi(\sigma, T) = \Delta l_{eT}/l_0$ , где  $\Delta l_{eT}$  - удлинение стержня в результате воздействия температуры и напряжения. Полагаем, что разделить ее на составляющие  $\varepsilon_e$  и  $\varepsilon_T$  в общем случае не удастся.

### Термоупругопластическая деформация

В общем случае деформация представляет сочетание термоупругой и неупругой деформаций; первая обратима, последняя нет. При наличии пластической деформации наложение термоупругой ведет к термоупругому деформированию, в котором начальная длина  $l_0$  должна быть заменена на  $k_p l_0$ . Напомним, что коэффициент  $k_p$  определяется пластическим удлинением  $\Delta l_p$ , отнесенным к *начальной* длине стержня, независимо от текущей длины (возможно, заметно отличающейся от начальной), зависящей от текущих значений  $\sigma$  и  $T$ .

### Экспериментальное определение функции $\varphi$

Каждый материал характеризуется своей функцией  $\varphi(\sigma, T)$  (рис. 2); она может быть найдена из соответствующих испытаний.

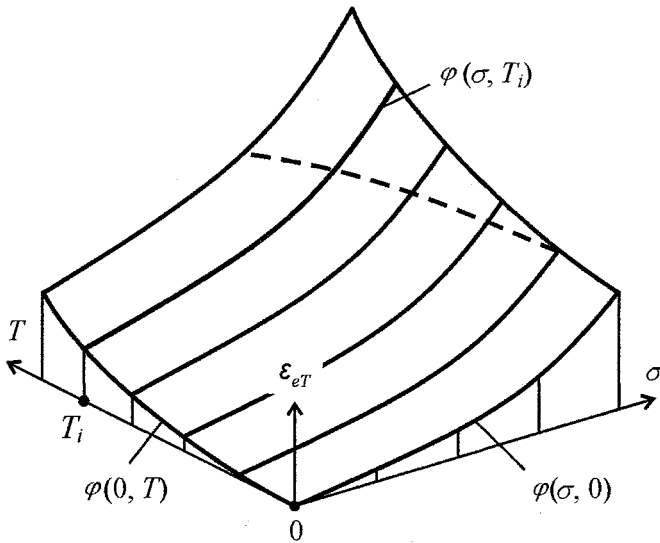


Рис. 2. Часть функции  $\varphi$  (при  $\sigma > 0, T > 0$ ). Выделены изотермы  $\varphi(\sigma, T_i)$

на возвращаться к размеру  $l = (1 + \varphi(0, T_i))l_0$ . В частности, может выполняться закон Гука:

$$\varphi(\sigma, T) = \varphi(0, T) + \sigma/E(T), \tag{13}$$

тогда поверхность  $\varphi(\sigma, T)$  линейчатая.

### Остаточная деформация

Выявляя характеристику материала  $\varphi(\sigma, T)$ , необходимо делать разгрузки, чтобы удостовериться в обратимости деформации, позволяющей использовать выражение

$$\varphi(\sigma^*, T_i) = (l(\sigma^*, T_i) - l(0, T_i))/l(0, T_i).$$

Здесь  $\sigma^*$  – значение напряжения в момент начала разгрузки,  $T_i$  – значение температуры в опыте. С ростом температуры и напряжения (при выходе за некоторую условную границу, показанную на рис. 2 штриховой линией) при разгрузке начнет появляться заметная остаточная деформация (рис. 3): длина образца не возвращается к значению  $(1 + \varphi(0, T_i))l(0, T_i)$ . Это означает, что в процессе нагружения и разгрузки произошло неупругое (пластическое и/или вязкое) деформирование. Если допустить, что в процессе разгрузки неупругая деформация не изменилась, то из удлинения  $\Delta l(\sigma^*, T_i)$ , отвечающего максимальному напряжению  $\sigma^*$ , следует вычесть остаточное. Полученное удлинение позволяет найти значение термоупругой деформации в зоне неупругих деформаций:

$$\varphi(\sigma^*, T_i) = (l(\sigma^*, T_i) - \Delta l_p)/l_0. \tag{14}$$

Если нет уверенности в упругости разгрузки (например, если материал обладает заметной вязкостью), то необходимо выявить реологические свойства среды, вводя и проверяя соответствующие модели пластичности и ползучести. Добавим, что этот – существенно более сложный – этап исследования в любом случае необходим для проведения прочностных расчетов конструкций.

### Примеры расчета

Для иллюстрации приведем два простых примера расчета эволюции коэффициентов длины неупругого стержня при заданной истории нагружения. Первый пример относится к гипотетическому случаю идеально пластического материала (известны модуль Юнга  $E$  и предел текучести  $\sigma_T$ ). Задается история изменения температуры и коэффициента длины (табл. 1). Функция  $\varphi$  принята в виде  $\varphi(\sigma, T) = \alpha T + \sigma/E$ . В первом столбце таблицы указан номер этапа.

Проще всего найти вначале функцию  $\varphi(0, T)$ , замеряя деформацию нагреваемого стержня. Часто она описывается квадратной параболой

$$\varphi(0, T) = \alpha T + \beta T^2. \tag{12}$$

Вторым слагаемым в этом выражении часто пренебрегают.

Далее необходимы, очевидно, испытания при ненулевых напряжениях, хотя это потребует более сложной экспериментальной процедуры.

Пока напряжения малы, нагретые образцы при ряде значений температуры  $T = T_i = \text{const}$  следует растягивать или сжимать, получая при этом изотермы  $\varphi(\sigma, T_i) = \Delta l(\sigma, T_i)/l_0$ . Напомним, что  $l_0$  – длина образца до нагрева и до приложения нагрузки. При разгрузке длина должна

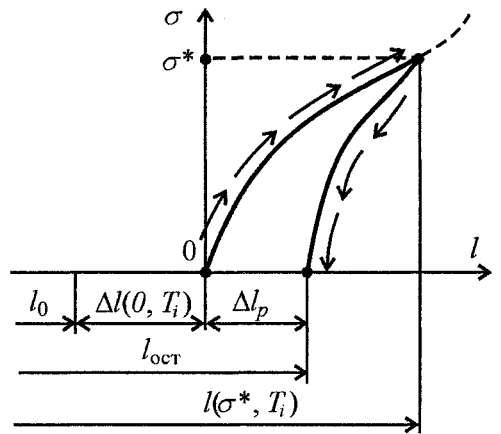


Рис. 3. Остаточное удлинение

Таблица 1

№	Температура	Напряжение	Коэффициент длины
1	0	$\sigma_T$	$1 + \sigma_T/E$
2	$T$	$\sigma_T$	$1 + \sigma_T/E + \alpha T$
3	$T$	$\sigma_T$	$1 + \sigma_T/E + \alpha T + \Delta k_3$
4	0	$\sigma_T$	$1 + \sigma_T/E + \Delta k_3$
5	0	0	$1 + \Delta k_3$

На первом этапе стержень растянут до достижения напряжением значения  $\sigma_T$ . Затем при постоянном напряжении производится нагрев: стержень удлиняется (или укорачивается, если  $T < 0$ ). На третьем этапе производится выпяжка на величину  $\Delta k_3$ . Величина  $\Delta k_3$  представляет относительное пластическое удлинение  $p = \Delta l_p/l_0$ . Затем следует возврат к начальной температуре и, наконец, снятие нагрузки.

В другом примере (табл. 2) рассмотрен стержень из материала с линейным упрочнением (модель Ишлинского-Прагера). В этом случае может быть задана история изменения напряжения (и температуры). Вид диаграммы неупругого деформирования при изотермическом нагружении, разгрузке и нагружении обратного знака показан на рис. 4.

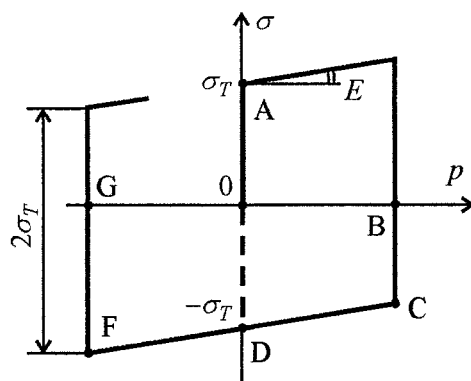


Рис. 4. Модель Ишлинского-Прагера

Таблица 2

№ п.п.	Напряжение	Температура	Коэффициент длины
1	0	$T_1$	$1 + \alpha T_1$
2	$\sigma_T$	$T_1$	$1 + \alpha T_1 + \sigma_T/E$ (точка А на рис. 4)
3	$\sigma_T + \Delta \sigma$	$T_1$	$(1 + \alpha T_1 + (\sigma_T + \Delta \sigma)/E)(1 + \Delta \sigma/E)$
4	$\sigma_T + \Delta \sigma$	0	$(1 + (\sigma_T + \Delta \sigma)/E)(1 + \Delta \sigma/E)$
5	0	0	$1 + \Delta \sigma/E'$ (точка В)
6	$\Delta \sigma - \sigma_T$	0	$(1 + (\sigma_T - \Delta \sigma)/E)(1 + \Delta \sigma/E)$ (точка С)
7	$-\sigma_T$	0	$1 - \sigma_T/E$ (точка D)
8	$-\sigma_T - \Delta' \sigma$	0	$(1 - (\sigma_T + \Delta' \sigma)/E)(1 - \Delta' \sigma/E)$ (точка F)
9	0	$T_2$	$(1 + \alpha T_2)(1 - \Delta' \sigma/E)$ (точка G)
10	$\sigma_T$	$T_2$	$1 + \alpha T_2 + \sigma_T/E$ (точка А)

### Тензор дисторсии

В общем случае для описания напряженно-деформированного состояния элементов конструкций используется, очевидно, тензорный аппарат. Напряжения в деформированной среде описываются тензором напряжений Коши; другие тензоры напряжений, фигурирующие в соответствующей литературе, имеют весьма туманные обоснования. Для описания деформированного состояния, обобщая предложенную в статье идеологию, можно использовать тензор дисторсии  $F$  в виде произведения трех сомножителей

$$F = R \cdot V_{eT} \cdot V_p, \tag{15}$$

где  $V_p$  - симметричный тензор коэффициентов длины, связанный с неупругими деформациями; произведение трех его главных значений равно единице - ввиду требования пластической несжимаемости. Тензор  $V_{eT}$  - симметричный тензор термоупругих коэффициентов длины, однозначно зависящих от мгновенных значений тензора напряжений и температуры. Произведение симметричных тензоров не обязательно симметрично, и произведение  $V_{eT} \cdot V_p$ , если их главные

оси не совпадают, представляет произведение некоторого ортогонального тензора жесткого поворота и симметричного тензора коэффициентов длины. Кроме того, в деформируемой конструкции могут возникать дополнительные повороты, связанные с движениями остальных элементов объема среды и зависящие от граничных условий. Поэтому в выражении (15) фигурирует еще один ортогональный тензор  $R$  возможного дополнительного поворота. Он находится в процессе решения краевой (и начальной) задачи о деформировании конструкции.

## Заключение

Приведенный анализ термоупругопластического (или термовязкоупругопластического) деформирования простейшей конструкции (например, фермы) позволил обосновать структуру коэффициента длины в геометрически нелинейном подходе, а также предложить обобщение полученных результатов на произвольное напряженно-деформированное состояние. Последнее, по видимому, потребует дальнейшего более детального расчетного обоснования.

## Литература

1. Lee, E.H. Finite strain elastic-plastic theory with application to plane-wave analysis / E.H. Lee, D.T. Liu // J. Appl. Phys. - № 38. - С 19-27.
2. Stumpf, H. Constitutive model and incremental shakedown analysis in finite elastoplasticity / H. Stumpf // Inelastic behavior of structures under variable loads. - 1995. - С 293-307.
3. Садаков, О.С. К расчетам напряженно-деформированного состояния конструкций в геометрически нелинейной постановке / О.С. Садаков // Труды Международной конференции «Снежинск и наука - 2003. Современные проблемы атомной науки и техники». - Снежинск: СГФТА. - 2003. - С. 73-74.
4. Садаков, О.С. О корректности решения геометрически нелинейных задач пакетом МКЭ / О.С. Садаков, А.А. Шапиро // Вестник ЮУрГУ. Серия «Математика, физика, химия». - 2003. - Вып. 4. - № 8(24). - С. 72-77.
5. Буслаева, О.С. Концепция лабораторной системы отсчета в геометрически и физически нелинейных задачах / О.С. Буслаева, О.С. Садаков, А.А. Шапиро // Математическое моделирование и краевые задачи: труды Всероссийской научной конференции 26-28 мая 2004 года. Самарский государственный технический университет. - 2004. - Ч. 1. - С. 46—48.

*Поступила в редакцию 11 февраля 2010 г.*

## CONSIDERING THE GEOMETRICAL NONLINEARITY IN CALCULATION OF INELASTIC DEFORMATION OF STRUCTURES. DECOMPOSITION OF STRAINS

The article shows splitting of a deformation on a reversible and an irreversible component when considering the uniaxial stress state. The irreversible deformation is defined by a plastic lengthening which has been accumulated during the whole history of the deformation. The reversible (thermoelastic) deformation cannot be divided into an elastic deformation and a thermal one. Two examples of variable thermomechanical loading of a rod are shown.

*Keywords: geometrical nonlinearity, elastic deformation, thermal deformation, plastic deformation, thermomechanical loading.*

**Sadakov Oleg Sergeevich** is Professor, Dr. Sc. (Engineering), Applied Mechanics, Dynamics and Strength of Machines Department, Physics Faculty, South Ural State University.

**Садаков Олег Сергеевич** - профессор, доктор технических наук, кафедра прикладной механики, динамики и прочности машин, физический факультет, Южно-Уральский государственный университет.

**Scherbakova Alia Olegovna** is Cand.Sc. (Engineering), Applied Mechanics, Dynamics and Strength of Machines Department, Physics Faculty, South Ural State University.

**Щербакова Алла Олеговна** - кандидат технических наук, кафедра прикладной механики, динамики и прочности машин, физический факультет, Южно-Уральский государственный университет.

e-mail: [AllaScherbakova@list.ru](mailto:AllaScherbakova@list.ru)